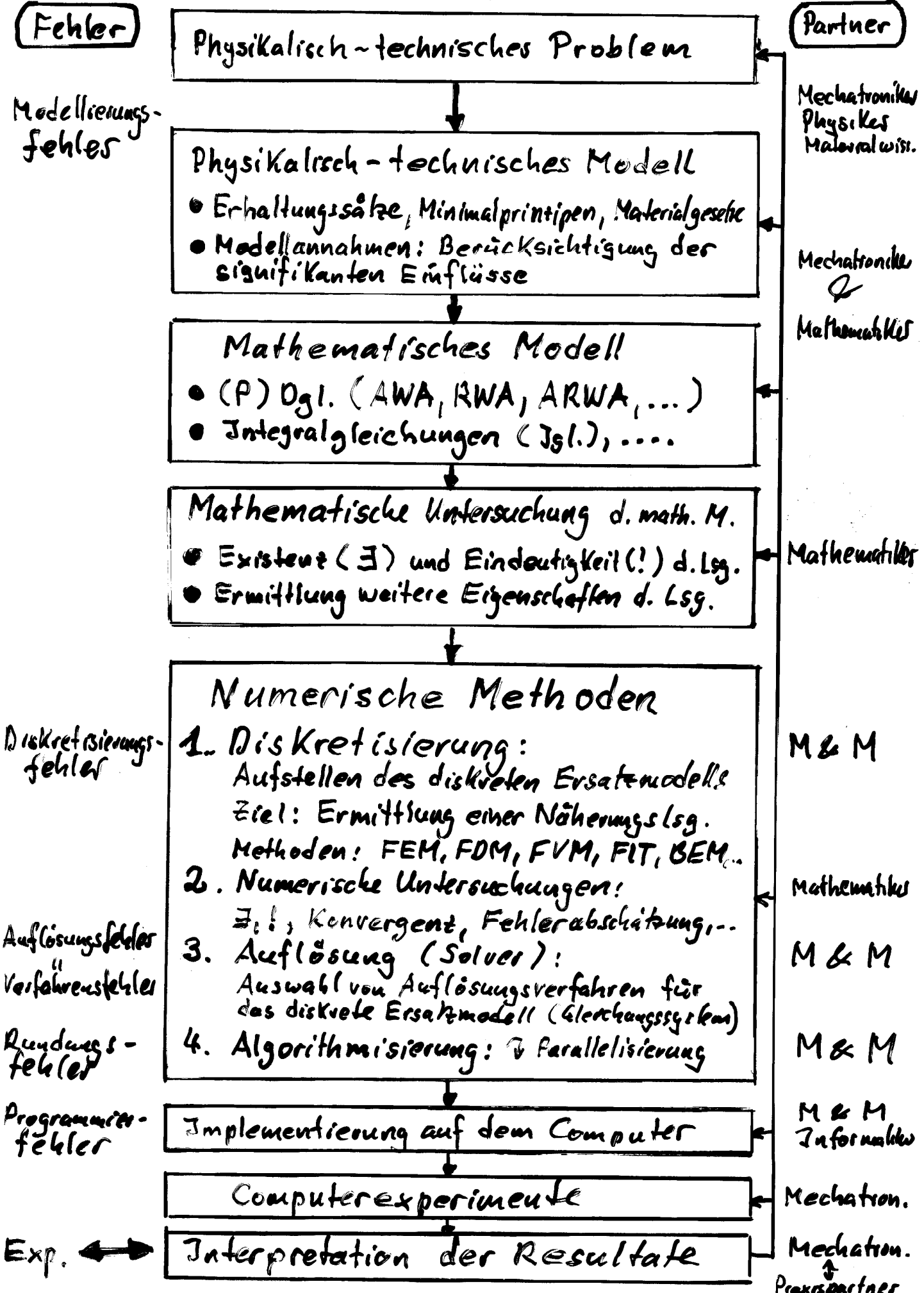
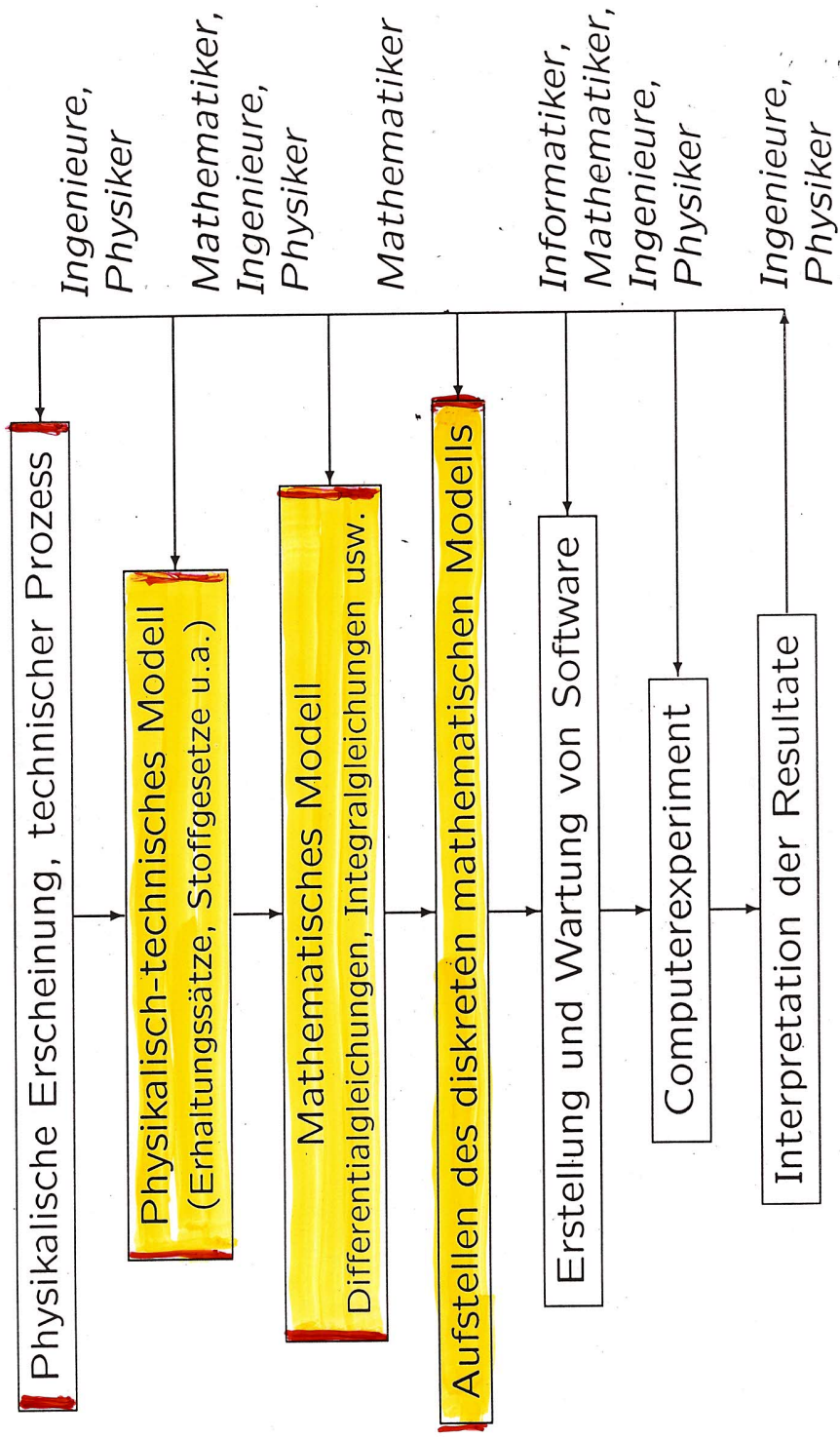


1

Vom MODELL zur COMPUTERSIMULATION



Vom physikalisch-technischen Problem zur Computersimulation

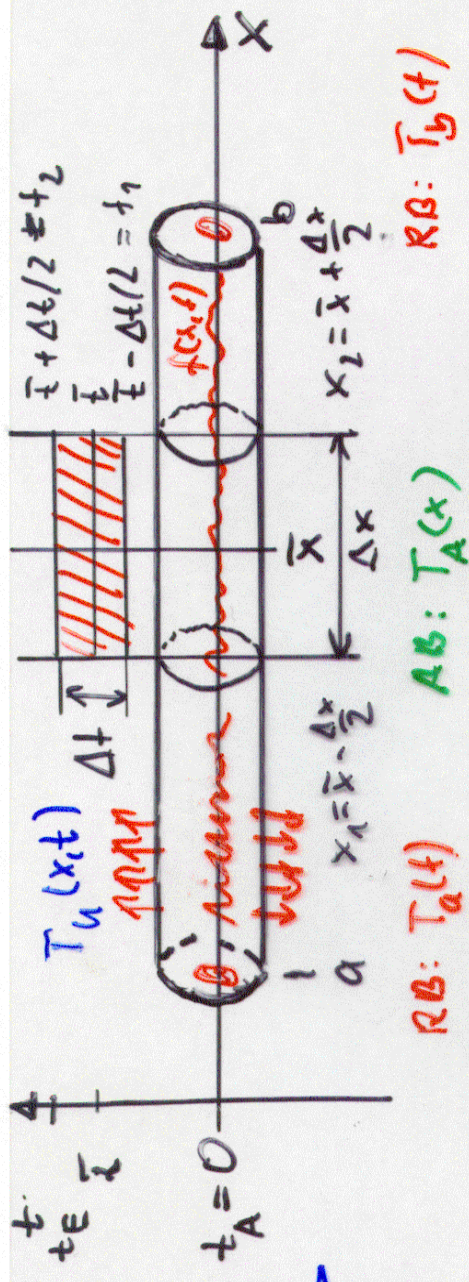


M. Jung, U. Langer: Methode der finiten Elemente für Ingenieure: Eine Einführung in die numerischen Grundlagen und Computersimulation. © B.G. Teubner GmbH, Stuttgart – Leipzig – Wiesbaden, 2001

1. 2. BEISPIEL

1.2.1. Wärmeleitung:
(stationär, öffl. 10)

Problemstellung:



Physikalisch-technisches Modell: Wärmemengenbilanz in Raum und Zeit

Wärmemenge, die im plkt. x_1 in "dx" während der Zeitspanne Δt hineinfließt

Wärmemenge, die im plkt. x_2 aus "dx" während der Zeitspanne Δt herausfließt

Wärmemenge, die über den Mantel während der Zeitspanne Δt abgegeben wird

Wärmemenge, die durch Aufheizung während der Zeitspanne Δt in "dx" zwischen End- und Ausgangszeit

Wärmemenge - differenz in "dx" zwischen "x_1" und "x_2" während der Zeitspanne Δt

$$1) \int_{t_1}^{t_2} W(x_1, t) dt = \int_{t_1}^{t_2} \int_{x_1}^{x_2} \bar{\sigma} (T - T_u) dx dt + |S| \int_{t_1}^{t_2} \int_{x_1}^{x_2} f(x, t) dx dt = |S| \int_{t_1}^{t_2} \int_{x_1}^{x_2} c g(T(x_1, t) - T(x_2, t)) dx dt$$

• Fourier'sches Gesetz: $W = -\lambda \frac{\partial T}{\partial x} |S|$

+ RB: $T(a+0) = T_a(t)$, $T(b-0) = T_b(t)$, $t \in [t_A, t_B]$ (Dirichlet)

+ AB: $T(x_1, 0) = T_A(x)$, $x \in [a, b]$

■ Mathematische Modelle:

• Modell 1: Instationäre Wärmeleitgl. in Integralbilanzform

(2)

Ges. Temperaturfeld $T(x, t)$:

$$\int_{x_1}^{x_2} \int_{t_1}^{t_2} g(T(x_1, t_2) - T(x_1, t_1)) dx dt - \int_{t_1}^{t_2} \left(\lambda \frac{\partial T}{\partial x}(x_2, t) - \lambda \frac{\partial \bar{T}}{\partial x}(x_1, t) \right) dt + \\ + \int_{t_1}^{t_2} \int_{x_1}^{x_2} \bar{\alpha} \bar{T}(x, t) dx dt = \int_{t_1}^{t_2} \int_{x_1}^{x_2} f(x, t) dx dt + \int_{t_1}^{t_2} \int_{x_1}^{x_2} \bar{\alpha} \bar{T}_u(x, t) dx dt$$

$\forall \bar{x} \in (a, b) \quad \forall \Delta x > 0 : [x_1, x_2] \subset (a, b), \quad x_1 = \bar{x} - \frac{\Delta x}{2}, \quad x_2 = \bar{x} + \frac{\Delta x}{2}$

$\forall \bar{t} \in (0, t_E) \quad \forall \Delta t > 0 : [t_1, t_2] \subset (0, t_E), \quad t_1 = \bar{t} - \frac{\Delta t}{2}, \quad t_2 = \bar{t} + \frac{\Delta t}{2}$

+ RB: $T(a, t) = T_A(t), \quad T(b, t) = T_B(t) \quad \forall t \in (0, t_E)$

+ AB: $T(x, 0) = T_A(x) \quad \forall x \in [a, b]$

$$\lim_{\substack{\Delta x \rightarrow 0 \\ \Delta t \rightarrow 0}} \frac{1}{\Delta x \Delta t} (2) \quad \downarrow (\text{Vor.})$$

$$\uparrow \int_{t_1}^{t_2} \int_{x_1}^{x_2} (3) dx dt$$

• Modell 2: Inst. Wärmeleitgl. in differentieller Form

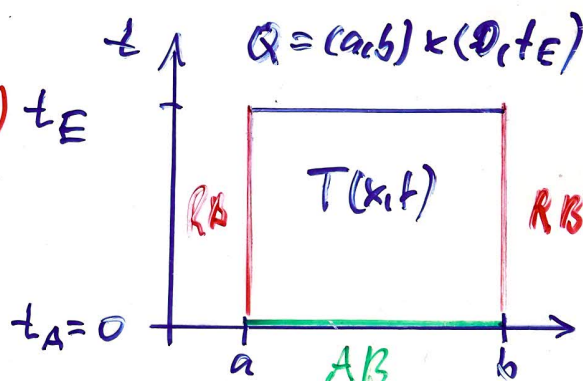
(3)

Ges. Temperaturfeld $T \in C^{2,1}(Q) \cap C(\bar{Q})$:

$$CS \frac{\partial \bar{T}}{\partial t}(x, t) - \frac{\partial}{\partial x} \left(\lambda \frac{\partial T}{\partial x}(x, t) \right) + \bar{\alpha} T(x, t) = f(x, t) + \bar{\alpha} \bar{T}_u(x, t) \quad \forall (x, t) \in Q$$

$$\begin{aligned} + RB: \quad T(a, t) &= T_A(t) \\ T(b, t) &= T_B(t) \end{aligned} \quad \left. \begin{aligned} &t \in (0, t_E) \\ &Q = (a, b) \times (0, t_E) \end{aligned} \right.$$

$$+ AB: \quad T(x, 0) = T_A(x) \quad \forall x \in [a, b]$$



$\overbrace{G^{K, l}(Q)}^{\text{Continuous}} \quad K \text{ mal stetig diffbar nach } x$

$\overbrace{G^{0, 0}}^{\text{Raum-Zeit-Zylinder}}$

$\overbrace{G}^{\text{Continuous}} \quad l \text{ mal stetig diffbar nach } t$

$$G = G^{0,0} \cdot G^0$$

- Zur numerischen Behandlung betrachten wir der Einfachheit halber den Spezialfall der Abkühlung eines homogenen,mantelisolierten Metallstabs ohne innere Wärmequellen, d.h.

$$c_1, \beta, \lambda = \text{const} > 0, \alpha = 0, f = 0, a = 0, b = L$$

(4)

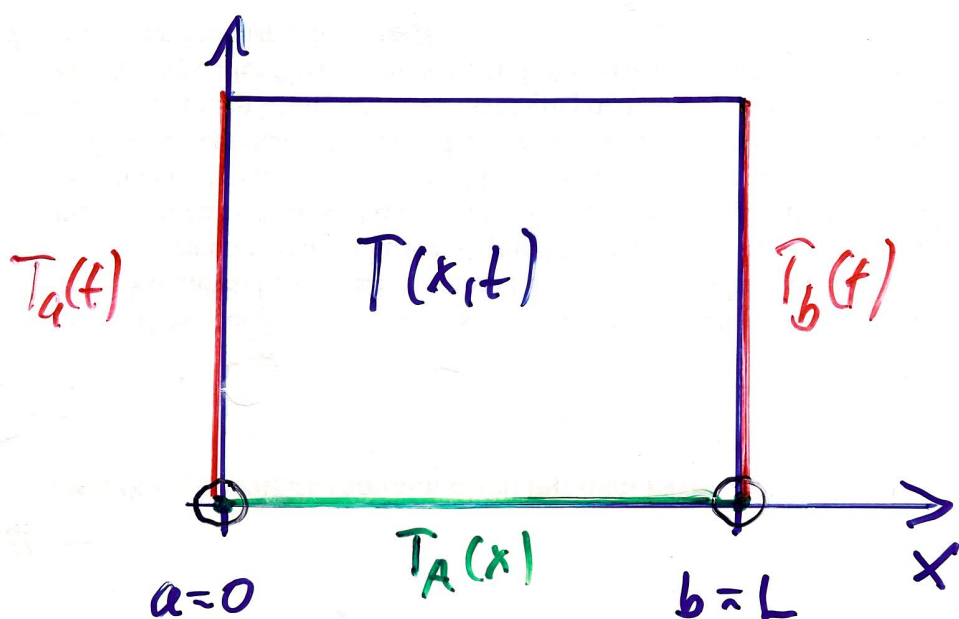
Ges. $T(x,t) \in C^{2,1}(Q) \cap C(\bar{Q})$:

$$\frac{\partial T}{\partial t}(x,t) - \alpha \frac{\partial^2 T}{\partial x^2}(x,t) = 0 \quad \forall x \in (0,L) \\ \forall t \in (0,t_E)$$

RB: $\begin{cases} T(0,t) = T_a(t) \\ T(L,t) = T_b(t) \end{cases} \quad \forall t \in (0,t_E)$

AB: $T(x,0) = T_A(x) \quad \forall x \in [0,L]$

wobei $\alpha := \frac{\lambda}{\rho c}$ - Temperaturleitzahl.



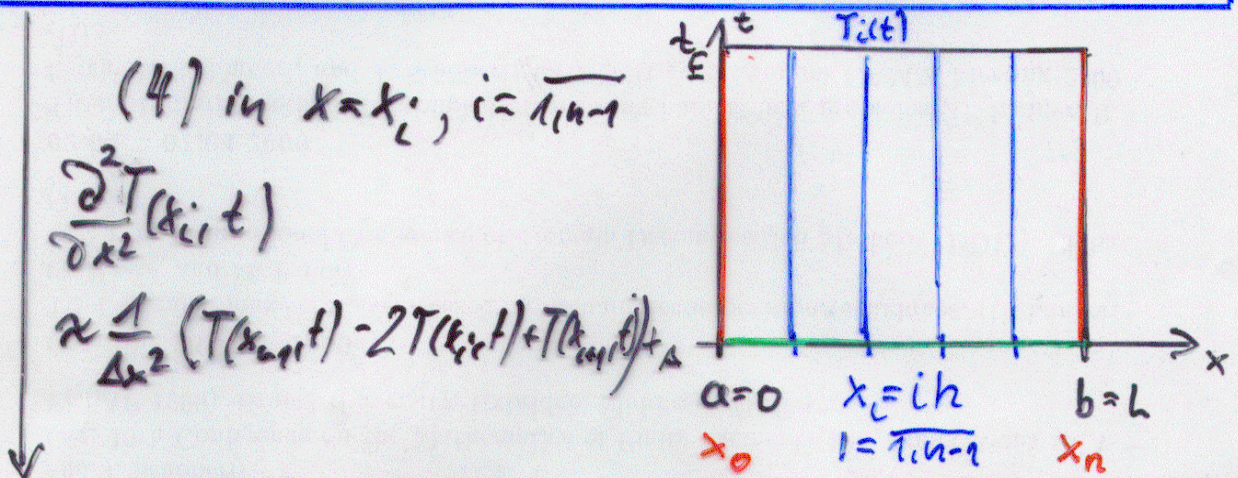
(4)

Ges. $T(x, t) \in C^{2,1}(Q) \cap C(\bar{Q})$:

$$\frac{\partial T}{\partial t}(x_i, t) - \alpha \frac{\partial^2 T}{\partial x^2}(x_i, t) = 0 \quad \forall (x_i, t) \in Q := (0, L) \times (0, t_E),$$

RB: $T(0, t) = T_a(t)$, $T(L, t) = T_b(t) \quad \forall t \in [0, t_E]$ AB: $T(x, 0) = T_A(x)$ $\forall x \in [0, L]$ $\alpha := \lambda / gC$ - Temperaturleit Zahl

AWA



(5)

Ges. $T_i(t)$, $i = \overline{1, n-1}$: $t \in (0, t_E)$

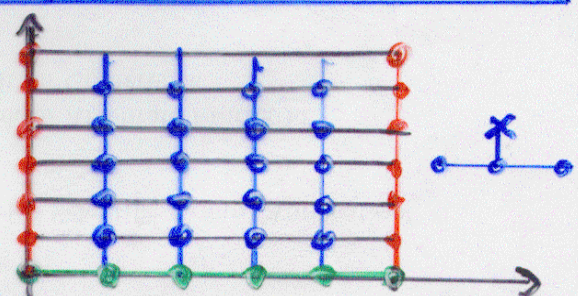
$$\frac{d}{dt} T_i(t) = \alpha \frac{T_{i-1}(t) - 2T_i(t) + T_{i+1}(t)}{\Delta x^2}$$

 $T_0(t) = T_a(t)$, $T_n(t) = T_b(t)$, $t \in (0, t_E)$ $T_i(0) = T_A(x_i)$, $i = \overline{0, n}$ Ges. $\underline{T}(t) = (T_1(t), \dots, T_{n-1}(t))$:

$$\frac{d}{dt} \underline{T}(t) = -K \underline{T}(t) + \underline{b}(t)$$

 $t \in (0, t_E)$ $\underline{T}(0) = \underline{T}_A$ AWA(5) in $t = t_j$, $j = \overline{0, m-1}$

$$\frac{dT_i(t)}{dt} \approx \frac{T_i(t_{j+1}) - T_i(t_j)}{\Delta t}$$



(6)

$$\frac{T_i^{j+1} - T_i^j}{\Delta t} = \alpha \frac{T_{i-1}^j - 2T_i^j + T_{i+1}^j}{\Delta x^2}, \quad i = \overline{1, n-1}, j = \overline{0, m-1}$$

RB: $T_0^j = T_a(t_j)$, $T_n^j = T_b(t_j)$, $j = \overline{0, m}$ AB: $T_i^0 = T_A(x_i)$, $i = \overline{0, n}$

Euler rückwärts

• Bemerkung 1.1:

1. Die hier vorgestellte Methode der Ortsdiskretisierung heißt

Differentenverfahren = Finite Difference Method (FDM)

→ Ausgangspkt. = PDE (Klassische Formulierung)

Idee: Ersetze Abl. durch Differenzen auf Gitter!

2. Andere Techniken zur Ortsdiskretisierung sind:

FVM = Finite Volume Method

→ Ausgangspkt. = Integralbilanzformul. (2)

FEM = Finite Element Method

→ Ausgangspkt. = Variationsformulierung

→ siehe Kap. 2 !

BEM = Boundary Element Method

= Randelementmethode

→ Ausgangspkt. = Integralgleichungsformul.

3. Die AWA (5) ist ein Spezialfall von AWA der Art:

Ges. Vektorfkt. $u(t) = (u_1(t), \dots, u_N(t))^T$:

$$(5)_u \quad \begin{cases} u'(t) = f(t, u(t)), \quad t \in (0, T) \\ AB: \quad u(0) = u_0 \end{cases} \quad \text{hier: } T = t_E$$

wobei f geg. Vektorfkt. und $u_0 \in \mathbb{R}^n$ geg. Vektor der AB.

Verfahren zur numerischen Lsg. der AWA (5)_u sind:

1) Einschrittverfahren, z.B. Runge-Kutta-Verfahren
→ expliziter Euler (b), impliziter Euler (Ü2), CN (Ü2), ...

2) Mehrschrittverfahren, z.B. BDF-Verfahren

Dazu benötigen wir zunächst Verfahren zur num. Integration.

Denn falls $f(t, u(t))$ nicht von u abhängt, dann ist die Lsg.

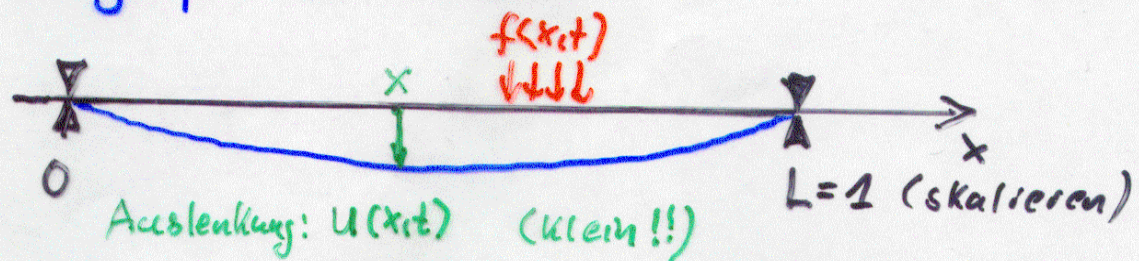
von (5)_u äquivalent zu

$$u(t) = u_0 + \int_0^t f(t) dt,$$

d.h. wir benötigen Verfahren zur num. Ber. von $\int_0^t f(t) dt$!

1. 2. 2. Schwingungsgleichung

- Die Modellierung der Schwingungen einer fest eingespannten Saite



führt auf das mathematische Modell (=ARWA):

$$(7) \quad \text{Ges. } u = u(x,t) \in C^2(Q) \cap C(\bar{Q}) \cap C^1(\bar{\Omega}):$$

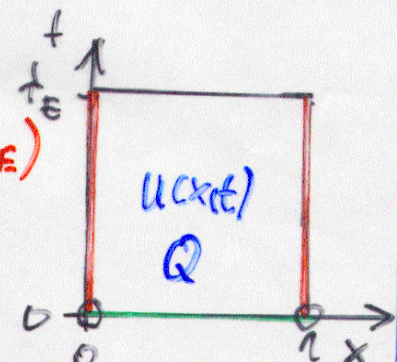
$$\frac{\partial^2 u}{\partial t^2}(x,t) - a^2 \frac{\partial^2 u}{\partial x^2}(x,t) = f(x,t) \quad \forall (x,t) \in Q = (0,1) \times (0,t_E)$$

RB: 1. Art (Dirichlet) \Leftrightarrow 1. ARWA

$$u(0,t) = u(1,t) = 0 \quad \forall t \in (0,t_E)$$

$$AB: \left. \begin{array}{l} u(x,0) = u_0(x) \\ \frac{\partial u}{\partial t}(x,0) = u_1(x) \end{array} \right\} \quad \forall x \in [0,1]$$

$$\frac{\partial u}{\partial t}(x,0) = u_1(x)$$



- Analog zur Diskretisierung des Wärmeleitproblems ersetzen wir

$$[0,1] \ni x \mapsto x_i = ih: \quad \begin{array}{ccccccc} x_0 = 0 & & x_i = ih & \xleftrightarrow{h=\Delta x=1/n} & & x_n = 1 \\ 0 & + & + & + & + & + & 1 \end{array}$$

$$L = \overline{0,1} = 1$$

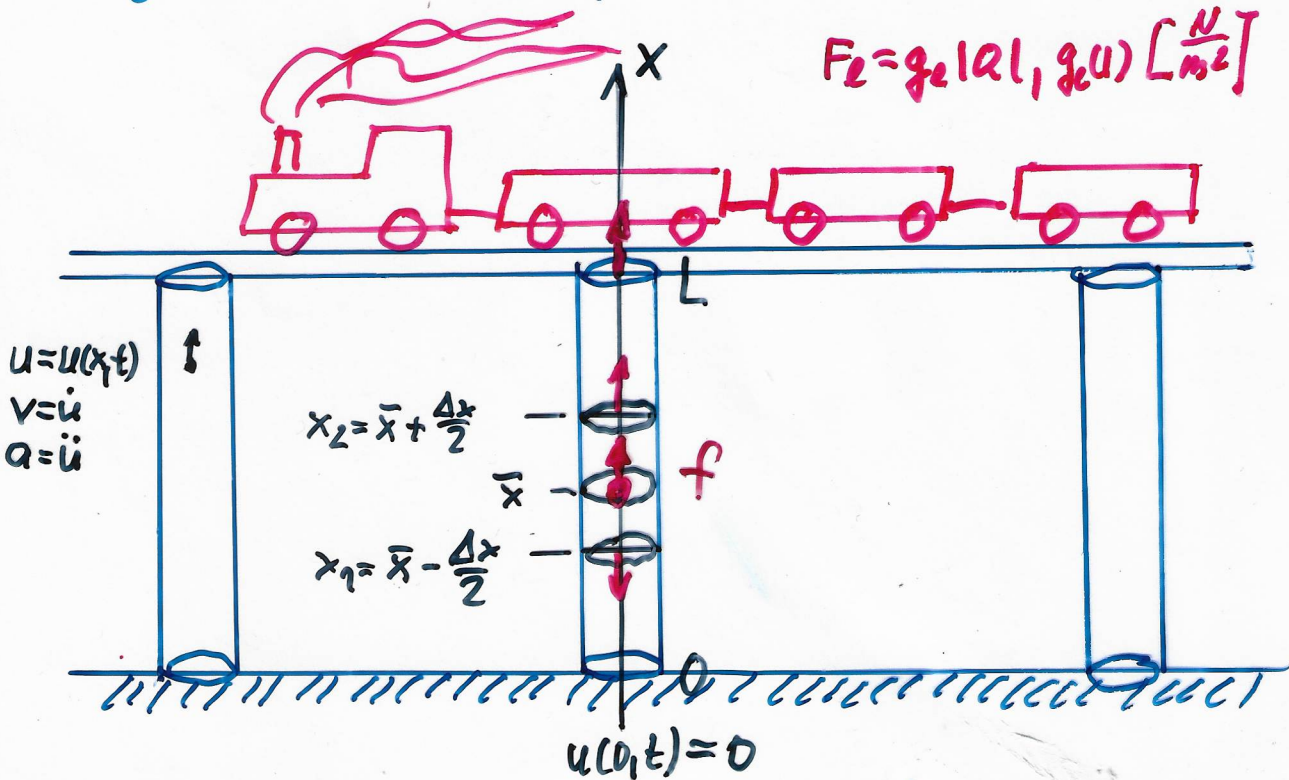
$$[0, t_E] \ni t \mapsto t_j = j\tau: \quad \begin{array}{ccccccc} t_0 = 0 & & t_j = j\tau & \xleftrightarrow{\tau = \Delta t = t_E/m} & & t_E \\ 0 & + & + & + & + & + & t_E \end{array}$$

$$\frac{\partial^2 u}{\partial x^2}(x_i, t_j) \approx \frac{u(x_{i+1}, t_j) - 2u(x_i, t_j) + u(x_{i-1}, t_j)}{h^2}$$

$$\frac{\partial^2 u}{\partial t^2}(x_i, t_j) \approx \frac{u(x_i, t_{j+1}) - 2u(x_i, t_j) + u(x_i, t_{j-1})}{\tau^2}$$

Mechanisches Problem: [§L13: 2.2.3: 55-57]

Longitudinalschwingung eines Stabes (einer Säule)



Newton: Kraft = Masse × Beschleunigung

(*)

$$|Q|G(\bar{x} + \frac{\Delta x}{2}, t) - |Q|G(\bar{x} - \frac{\Delta x}{2}, t) + |Q|\int_{x_1}^{x_2} f(x, t) dx = \int_{x_1}^{x_2} a(x, t) g dx / |Q|$$

resultierende Oberflächenkraft + resultierende Volumenkraft = resultierende Trägheitskraft

+ Stoffgesetz = Hooke: $\sigma = E \epsilon$

+ Geometrische Beziehung: $\epsilon(x, t) = u'(x, t) = \frac{\partial u}{\partial x}(x, t)$

+ $a(x, t) = \ddot{u}(x, t) := \frac{\partial^2 u}{\partial t^2}(x, t)$ - Beschleunigung

+ RB: $u(0, t) = 0$, $\sigma(L, t) = E \frac{\partial u}{\partial x}(L, t) = g_e(t) \quad \forall t \in (0, t_e)$

+ AB: $u(x, 0) = u_0(x)$, $\frac{\partial u}{\partial t}(x, 0) = v_0(x), \forall x \in [0, L]$

$\lim_{\Delta x \rightarrow 0} (*) \Rightarrow$

$$\sum_{i=1}^N \frac{\partial u}{\partial t^2}(x_i, t) - \sum_{i=1}^N (E \frac{\partial u}{\partial x}(x_i, t)) = f(x, t) \quad \forall (x, t) \in Q := (0, L) \times (0, t_e)$$

+ RB: $u(0, t) = 0$, $E \frac{\partial u}{\partial x}(L, t) = g_e(t) \quad \forall t \in (0, t_e)$

+ AB: $u(x, 0) = u_0(x)$, $\frac{\partial u}{\partial t}(x, 0) = v_0(x), \forall x \in [0, L]$

(7)

und ersetzen dann die PDgl. (7) in den inneren Gitterpunkten (x_i, t_j) , $i = \overline{0, n-1}$, $j = \overline{1, m-1}$ des Raum-Zeit-Gitters durch die Differenzengleichung ($u_i^j \approx u(x_i, t_j)$):

$$\frac{u_i^{j+1} - 2u_i^j + u_i^{j-1}}{\tau^2} - a^2 \frac{u_{i+1}^j - 2u_i^j + u_{i-1}^j}{h^2} = \varphi_i^j := f(x_i, t_j).$$

In den Randgitterpunkten ist u_i^j durch die RB ges.:

$$u_0^j = u_n^j = 0 \quad \forall j = \overline{1, m}.$$

In der 0. und in der 1. Zeitschicht erhalten wir die Werte aus den AB:

$$j=0: u_i^0 = u_0(x_i) \quad \forall i = \overline{0, n}$$

$$j=1: u_i^1 = u_i^0 + \tau u_1(x_i) \quad \forall i = \overline{0, n-1, n} \quad \text{Komp.}$$

$$\hookrightarrow \text{Motiviert: } u(x_i, t_1) = u(x_i, 0) + \frac{\partial u}{\partial t}(x_i, 0) \tau + O(\tau^2)$$

Damit erhalten wir das Differenzeanschema:

(8)

Ges. $u_i^j \approx u(x_i, t_j)$:

$$\frac{u_i^{j+1} - 2u_i^j + u_i^{j-1}}{\tau^2} - a^2 \frac{u_{i+1}^j - 2u_i^j + u_{i-1}^j}{h^2} = \varphi_i^j, \quad i = \overline{0, n-1}$$

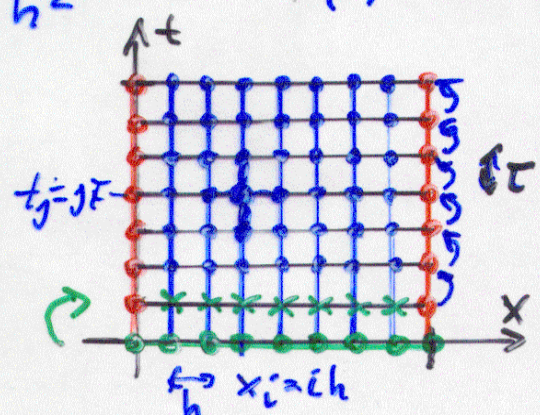
$$j = \overline{1, m-1} = 1, 2, \dots, m-1$$

$$\text{RB: } u_0^j = u_n^j = 0, \quad j = \overline{1, m}$$

$$\text{AB: } u_i^0 = u_0(x_i)$$

$$u_i^1 = u_i^0 + \tau u_1(x_i)$$

$$i = \overline{0, n}$$



■ **Ü1**

\Rightarrow Numer. Analysis: Approx. + Stabilität \Leftarrow Konv.

CFL-Kd.

\Rightarrow Algorithmus

N-2

\Rightarrow Implementierung \Rightarrow Computerexp. \Rightarrow Diskussion der

1.3. Typische mathematische Modelle für PDgl. und ihr technischer Hintergrund

1.3.1. ARWA für parabolische PDgl.

■ Ges. $u(x,t) \in X \subset C^{2,1}(Q)$:

$$(9) \quad \frac{\partial u}{\partial t}(x,t) - \alpha \Delta u(x,t) = f(x,t), \quad (x,t) \in Q := \Omega \times (0,t_E)$$

↑ LAPLACE-Operator

+ RB: • 1. Art = Dirichlet: $u(x,t) = g_1(x,t)$, $x \in \Gamma_D$, $t \in (0,t_E)$

• 2. Art = Neumann: $-\alpha \frac{\partial u}{\partial n}(x,t) = g_2(x,t)$ — ii —

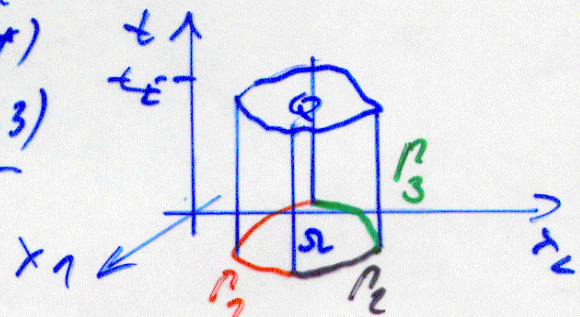
• 3. Art = Robin: $-\alpha \frac{\partial u}{\partial n} = \alpha(u - u_R)$ — iii —

4. Art = gemischt: i. Art auf Γ_i , $i = \overline{1,3}$

+ AB: $u(x,0) = u_0(x)$, $x \in \bar{\Omega}$

wobei $\Omega \subset \mathbb{R}^d$ - Rechteckgebiet (\neq)

d - Ortsdimension ($d = 1, 2, 3$)



■ Modelliert z. B.:

- Instationäre Wärmeausbreitung (≈ Wärmelsgl.)

- Instationäre Diffusionsprozesse (≈ Diffusionsgl.)

: etc

■ Semidiscretisierung im Ort (FDM, FEM) führt auf AWA für System gew. Dgl. 1. Ordnung zur Bestimmung von $\underline{u}(t) := (u_1(t), \dots, u_N(t))^T$:

$$(10) \quad \begin{cases} \dot{\underline{u}}(t) = \underline{f}(t, \underline{u}(t)) := -K \underline{u}(t) + \underline{b}(t), & t \in (0, t_E) \\ + AB: \underline{u}(0) = \underline{u}_0 \end{cases}$$

wobei $\dot{\underline{u}}(t) := \frac{d\underline{u}}{dt}(t) = (u_1'(t), \dots, u_N'(t))^T$.

9. 1.3. a. ARWA für hyperbolische PDEgl.

- Ges. $u(x,t) \in X \subset C^{2,2}(Q) = C^2(Q)$:

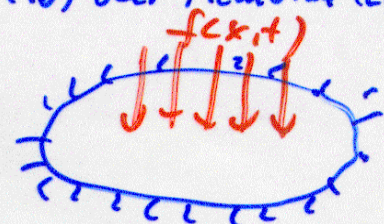
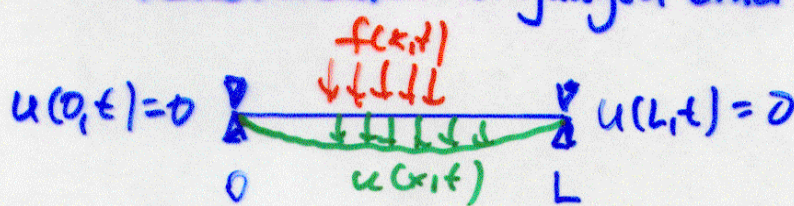
$$(11) \quad \frac{\partial^2 u}{\partial t^2}(x,t) - a \Delta u(x,t) = f(x,t), \quad (x,t) \in Q := \Omega \times (0, t_E)$$

+ RB: 1.-4. Art \Leftrightarrow 1.-4. ARWA

$$\begin{aligned} +AB: \quad & u(x,0) = u_0(x) \\ & \frac{\partial u}{\partial t}(x,0) = u_1(x) \end{aligned} \quad \left. \begin{array}{l} x \in \bar{\Omega} \subset \mathbb{R}^d \end{array} \right\}$$

- Modelliert z.B.:

- Longitudinalschwingungen eines Stabes (1D: $d=1$)
- Transversalschwingungen einer Saite (1D) oder Membran (2D)



- Ausbreitung von Druckwellen in der Akustik etc.

\Rightarrow (11) heißt auch Schwingungs- oder Wellengleichung

- Semidiskretisierung im Ort (FDM, FEM) führt auf AWA für Systeme gew. Dgl. 2. Ordnung zur Bestimmung von $\underline{u}(t) = (u_1(t), \dots, u_N(t))^T$:

$$(12) \quad \begin{cases} \ddot{\underline{u}}(t) = f(t, \underline{u}(t)) := -K \underline{u}(t) + \underline{b}(t), \quad t \in (0, t_E) \\ + AB: \quad \underline{u}(0) = \underline{u}_0 \\ \dot{\underline{u}}(0) = \underline{u}_1 \end{cases}$$

1.3.3. RWA für elliptische PDEs.

■ Asymptotische Verteilung: $t \rightarrow \infty$

Ableitung aus parabolischen PDEs für " $t \rightarrow \infty$ " unter stationären Bedingungen:

$$\begin{array}{l} \text{Annahmen: } f(x,t) = f(x) \\ \quad g(x,t) = g(x) \\ \quad \alpha = \text{const} > 0 \end{array} \left\{ \begin{array}{l} u(x,t) \rightarrow u(x) \\ \frac{\partial u}{\partial t}(x,t) \rightarrow 0 \\ t \rightarrow \infty \end{array} \right.$$

Folglich ist die asymp. (stationäre) Verteilung (eckige Klammer) Lösung der RWA:

$$(13) \quad \boxed{-\Delta u(x) = \frac{1}{\alpha} f(x) \text{ in } \Omega \\ + RB: 1.-4. \text{ Art auf } \Gamma = \partial\Omega} \quad \begin{array}{l} \text{Poisson-Gleichung} \\ \downarrow 1.-4. \text{ RWA} \end{array}$$

- Bsp.:
 - Asymp. (stationäre) Temperaturverteilung
 - - - Schadstoffverteilung
 - Potential von elektrischen Feldern
 \rightsquigarrow Potenzialgleichung

■ Statische und quasistatische Gleichgewichtszustände:

Ableitung aus hyperbolischer PDEs möglich:

$$\text{Ann.: } \frac{\partial^2 u}{\partial t^2}(x,t) \approx 0 \quad \forall (x,t) \in Q$$

$$\frac{\partial u}{\partial t}(x,0) \approx 0 \quad \forall x \in \bar{\Sigma}, \quad \alpha = \text{const} > 0.$$

\Rightarrow quasistatisch:

$$\boxed{-\Delta u(x,t) = \frac{1}{\alpha} f(x,t) \text{ in } \Omega \\ + RB: 1.-4. \text{ Art auf } \Gamma \\ + AB: u(x,0) = u_0(x) \text{ in } \bar{\Sigma}}$$

Quasistatische Parameter

\downarrow inkrementelle Methoden (Homotopie-Methoden)

Ann.: $f(x,t) = f(x)$, $g(x,t) = g(x)$, $a = \text{const} > 0$
 \Rightarrow statisch:

(13)

$$\begin{aligned} -\Delta u(x) &= \frac{1}{a} f(x) \text{ in } \Omega \\ + \text{RB: 1. - 4. Art auf } \Gamma \end{aligned}$$

Poisson-Gleichung

- Bsp.:
- Zugstab im statischen Gleichgewicht (10)
 - Gleichgewichtslage einer Saite bzw. Membran

Periodische Lösungen von hyperbolischen PDEs.

Bez. 2. B. 1. ARWA für (9): $\frac{\partial^2 u}{\partial t^2} - a \Delta u = f$, RB, AB

Ann.: $f(x,t) = a f(x) e^{i \omega t}$ ($i = \sqrt{-1}$)

$$g(x,t) = g(x) e^{i \omega t}$$

Amplitude Frequenz ω

Ansatz: $u(x,t) = u(x) e^{i \omega t}$

$$(11) \Rightarrow i^2 \omega^2 e^{i \omega t} u(x) - a e^{i \omega t} \Delta u(x) = a e^{i \omega t} f(x)$$

\Downarrow

(15)

$$-\Delta u(x) - k^2 u(x) = f(x), x \in \Omega$$

$$+ \text{RB: } u(x) = g(x), x \in \Gamma$$

$$\text{mit } k^2 = \omega^2 / a \quad \text{Helmholtz-Gleichung}$$

Frage nach Eigenschwingungen $\lambda = k^2$:

(16)

$$\text{Ges. } u(x) \neq 0 : -\Delta u(x) = \lambda u(x), x \in \Omega$$

EWP

$$u(x) = 0, x \in \Gamma$$

■ Ortsdiskr. Kretisierung (FEM, FVM, FDM, ...)

- Poisson-Gl. (13), (14): \rightarrow Großdimensionales GS

$$-\Delta u = f \text{ in } \Omega$$

+ Rb auf Γ

$$K \underline{u} = \underline{f}$$



Steifigkeitsmatrix

Wärmeleitmatrix

Quellvektor



- EWP (16)

$$-\Delta u = \lambda u \text{ in } \Omega$$

$u = 0$ auf Γ

\rightarrow Matrizen-eigenwertproblem

$$K \underline{u} = \lambda M \underline{u} \quad (\text{FEH})$$

Steifigkeitsmatr. \uparrow

Ew \uparrow

Massenmatrix

1. 3. 4. Verallgemeinerungen

■ Allgem. skalare PDgl. 2. Ordnung:

$-a \Delta u$
ellipt. Anteil

\mapsto

allgemeines ellipt.
Differentialoperator

2. B. Wärmeleit - Wärmetransport - Problem

$$-\sum_{i,j=1}^d \frac{\partial}{\partial x_i} (a_{ij} \frac{\partial u}{\partial x_j}) + \sum_{i=1}^d a_i \frac{\partial u}{\partial x_i} + \alpha u$$

Wärmeleitung

Diffusion

Wärmetransport

Konvektion

Wärmeausstausch

Reaktion

13

• Systeme gekoppelter PDEs!

- 1) Dynamisch erregter 3D linear elast. Körper!
 \Rightarrow Navier - Lame - Gleichungen

(17)

Ges. Verschiebungsfeld $u(x, t) = (u_1(x, t), u_2(x, t), u_3(x, t))^\top$:

$$\rho \frac{\partial^2 u_i}{\partial t^2} + c \frac{\partial u_i}{\partial t} - \tilde{\sigma}_{ij,j}(u) = f_i(t) \text{ in } Q = \Omega \times (0, t_E)$$

 $i = 1, 2, 3$

\uparrow
Spann.

Bewegungsgl.

+ Stoffgesetz (Hooke): $\tilde{\sigma}_{ij} = D_{ijkl} \epsilon_{kl}$ ϵ_{kl} def.

+ geom. Beziehungen: $\epsilon_{ij} = \frac{1}{2} (u_{i,j} + u_{j,i})$

+ RB: $u = 0$ auf Γ_1

$\left. \begin{array}{l} \\ \end{array} \right\} t \in (0, t_E)$

$$\epsilon_{ij} n_j = g_i \text{ auf } \Gamma_2$$

$\Gamma = \partial \Omega = \Gamma_1 \cup \Gamma_2$

+ AB: $u(t_1, 0) = u_0(x)$

$\left. \begin{array}{l} \\ \end{array} \right\} x \in \bar{\Omega}$

$$\frac{\partial u}{\partial t}(t_1, 0) = u_1(x)$$

= ARWA für hyperbolisches System von PDEs.

2) Lamésche Gleichung = statischer Fall

3) Navier-Stokes Gleichungen zur Beschreibung
 instationärer Strömungen inkomp. viskose Fluide

4) MAXWELL-Gleichungen: elektromagn. Felder
 ... etc etc.

Navier-Stokes Gleichungen
zur Beschreibung instationärer
Strömungen inkompressibler,
viskoser Fluide:

Ges. $u(x,t) = (u_1(x,t), u_2(x,t), u_3(x,t))^T$
- Geschwindigkeitsfeld,
 $p(x,t)$ - Druckfeld:

$$\frac{\partial u}{\partial t} - \frac{1}{Re} \Delta u + u \cdot \nabla u + \nabla p = f \text{ in } Q_T$$

(Impulsgleichung)

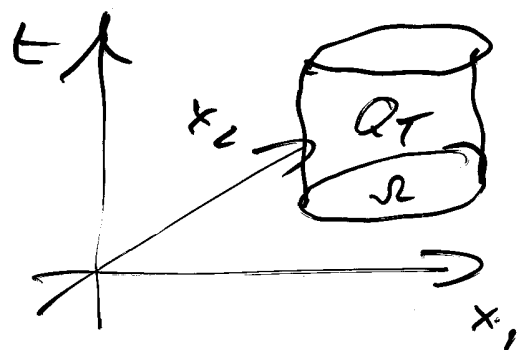
$$\operatorname{div} u = 0 \quad (\text{Kontinuitätsgleichung})$$

f. RB: z.B. $u = 0$ auf $\Gamma = \partial\Omega \quad \forall t \in [0, T]$

f. AB: $u(x, 0) = u_0(x) \quad \forall x \in \overline{\Omega}$

wobei Re - dimensionslose Reynoldszahl

$$Q_T = \Omega \times (0, T)$$



MAXWELL - Gleichungen zur Beschreibung elektro- magnetischer Felder:

$$\text{rot } H = J + \frac{\partial D}{\partial t}$$

$$\text{rot } E = - \frac{\partial B}{\partial t}$$

$$\text{div } B = 0$$

$$\text{div } D = S$$

+ Materialgleichungen

$$B = \mu(H) H$$

+ Interfacebedingungen

+ RB

+ AR

1.4. Modellierung elektromagnetischer Felder zur Simulation und Optimierung elektromagnetischer Produkte und Prozesse

- Startpunkt sind die Maxwell-Gl. aus Folie 12c:
 $\operatorname{div} \mathbf{B} = 0 \Rightarrow \exists \text{ Vektorpotential } \mathbf{A} = (A_1, A_2, A_3)^T:$
 $\nabla \cdot \mathbf{B} = 0 \quad \mathbf{B} = \operatorname{curl} \mathbf{A} = \operatorname{rot} \mathbf{A} = \nabla \times \mathbf{A}$

- Damit lassen sich die Maxwell-Gleichungen auf das folgende System PDEs (PDEs) führen:

Permittivität el. Leitf. ϵ = ν - Relativität einseitig per. hom. μ ν μ ρ σ \downarrow \downarrow \downarrow \downarrow

$$\text{ZB: } \epsilon \frac{\partial^2 \mathbf{A}}{\partial t^2} + \sigma \frac{\partial \mathbf{A}}{\partial t} + \operatorname{curl} \left(\frac{1}{\mu} \operatorname{curl} \mathbf{A} \right) = \mathbf{j} := \mathbf{j}_i - \operatorname{curl} \frac{\mu}{\mu_0} \mathbf{M} + \frac{\partial \mathbf{P}}{\partial t}$$

$\leftarrow (\mathbf{x}) \begin{cases} \mathbf{j}(\mathbf{x}, t) = \hat{\mathbf{j}}(\mathbf{x}) e^{i\omega t} - \text{harmonische Erreg.} \\ \nu \neq \nu(\operatorname{curl} \mathbf{A}), \text{ d.h. linear!} \\ \text{Ansatz: } \mathbf{A}(\mathbf{x}, t) = \hat{\mathbf{A}}(\mathbf{x}) e^{i\omega t} \\ \text{Komplex} \end{cases}$

$$\text{FB: } \operatorname{curl} (\nu \operatorname{curl} \hat{\mathbf{A}}) - (\omega^2 \epsilon - i\omega \sigma) \hat{\mathbf{A}} = \hat{\mathbf{j}}$$

siehe z.B.s ... /LVA/2009w/ MatMod Tech

- Spezialfall 1: Wirbelstromprobleme

Vor.: Verschiebungssströme $\frac{\partial \mathbf{D}}{\partial t}$ können vernachlässigt werden, d.h. $\frac{\partial \mathbf{D}}{\partial t} \approx 0$.

$$\text{ZB: } \sigma \frac{\partial \mathbf{A}}{\partial t} + \operatorname{curl} (\nu \operatorname{curl} \mathbf{A}) = \mathbf{j} \text{ in } Q_T = \Omega \times (0, T)$$



$$\text{FB: } \operatorname{curl} (\nu \operatorname{curl} \hat{\mathbf{A}}) + i\omega \sigma \hat{\mathbf{A}} = \hat{\mathbf{j}} \text{ in } \Omega$$

■ Spezialfall 2: Magnetostatik

Vor.: $A = A(x) = A(x_1, x_2, x_3)$, d.h. $\frac{\partial A}{\partial t} = 0$.

Ges. $A = (A_1, A_2, A_3)$:

$$\operatorname{curl}(\nu \operatorname{curl} A) = J := J_i - \operatorname{curl} \frac{\mu_0}{\mu} M \text{ in } \Omega$$

(Mstatik) 30 + RB: z.B. $A \times n = 0$ auf Γ_B ($\Rightarrow B \cdot n = 0$!)
 $\nu \operatorname{curl} A \times n = -J_s$ auf Γ_H ($\Rightarrow H \times n = -J_s$)
 $\Gamma_B = \Gamma_1 \cup \Omega$ $\Gamma_H = \Gamma_2$! Coulomb Erziehung (gagge)
 $\operatorname{div} A = 0$

Bsp.: Elektromagnet, elektrische Maschine, ...

■ Spezialfall 3: Elektrostatik

Ann.: zeitunabhängig und $\sigma = 0$ (nichtleitend)

Dann folgt aus den Maxwell-Gleichungen:

$$\operatorname{curl} E = 0 \Rightarrow E = -\nabla \varphi \quad (\exists \text{ Skalarpotential})$$

$$\operatorname{div} D = \sigma$$

$$D = \epsilon E = -\epsilon \nabla \varphi$$

die folgende Randwertaufgabe:

Ges. elektrisches Skalarpotential $\varphi = \varphi(x)$:

$$-\operatorname{div}(\epsilon \nabla \varphi) = \sigma \text{ in } \Omega \subset \mathbb{R}^d, d=1, 2, 3$$

+ RB: z.B. geg. Oberflächenladungen (surface charges)

$$\Gamma_1 = \Gamma_{\text{ext}} \quad \epsilon \nabla \varphi \cdot n \equiv -D \cdot n = -\sigma_s \text{ auf } \Gamma_S$$

und geg. elektr. Potential (Spannung)

$$\varphi = u \text{ auf } \Gamma_{\text{pec}}$$



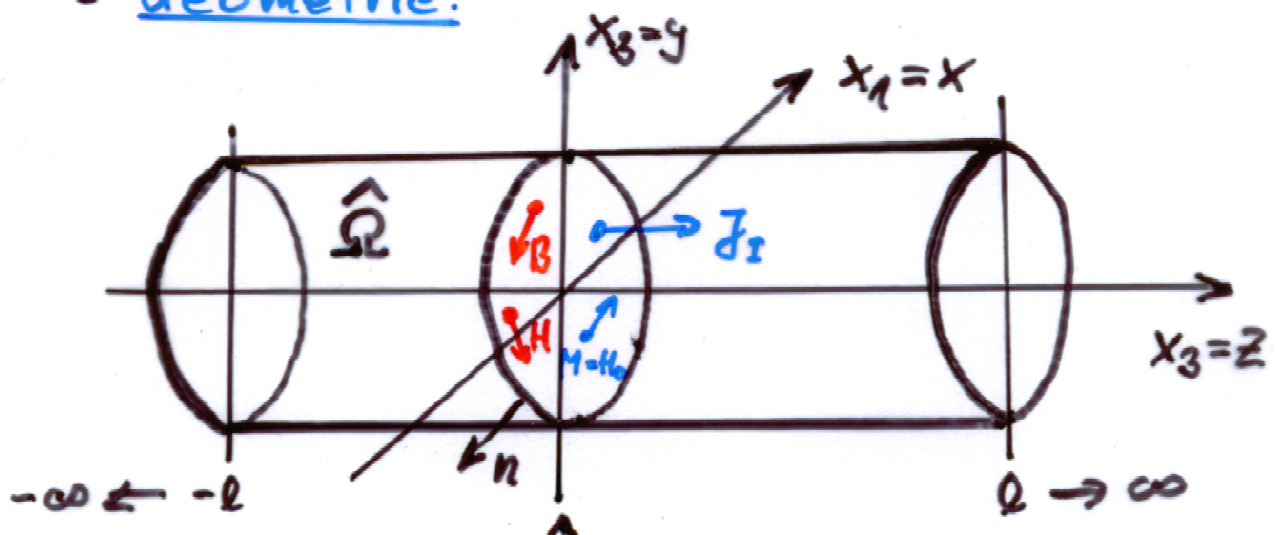
(Estatik)

31

Bsp.: Transformatoren (ABB)

■ Magnetostatik in 2D (z.B. elektrische Maschinen):

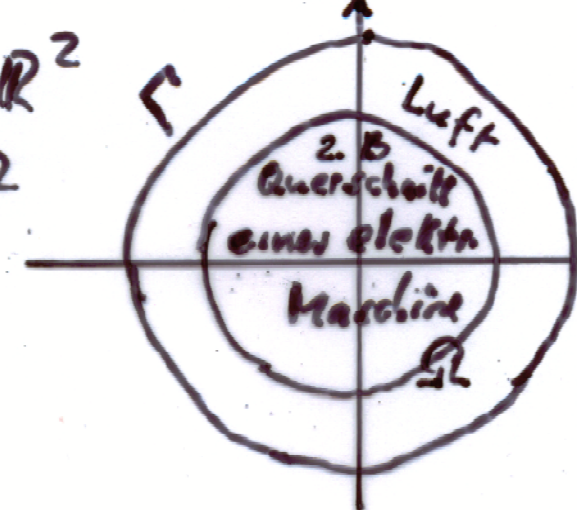
• Geometrie:



$$\Omega \subset \mathbb{R}^2$$

$$\Gamma = \partial\Omega$$

$$\Gamma = \partial\Omega = \Gamma_h : B \cdot n = 0$$



$$\text{oder } \Gamma_h : H \cdot n = -J_S = \begin{pmatrix} 0 \\ 0 \\ -B_{S3} \end{pmatrix}$$

• Voraussetzung:

1. $\hat{\Omega} = \Omega \times (-l, l)$ mit $l \gg \text{diam } \Omega$,

2. $J_I = \begin{pmatrix} 0 \\ 0 \\ J_{I3}(x_1, x_2) \end{pmatrix}, x = (x_1, x_2) \in \Omega, \quad (\Rightarrow \text{dir } J_I = 0 !)$

3. $M = H_0 = \begin{pmatrix} H_{01}(x_1, x_2) \\ H_{02}(x_1, x_2) \\ 0 \end{pmatrix}, x = (x_1, x_2) \in \Omega,$

4. $H = \begin{pmatrix} H_1(x_1, x_2) \\ H_L(x_1, x_2) \\ 0 \end{pmatrix}, x = (x_1, x_2) \in \Omega.$

• Unter diesen Voraussetzungen folgt sofort

$$\mathbf{B} = \mathbf{B}(x) = \begin{pmatrix} B_1(x_1, x_2) \\ B_2(x_1, x_2) \\ 0 \end{pmatrix}, \quad x = (x_1, x_2) \in \Omega,$$

BH-Relation

$$0 = B_3 = (\operatorname{curl} A)_3 = (\nabla \times A)_3 = \partial_1 A_2 - \partial_2 A_1 = 0$$

Das ist offenbar mit dem Ansatz

$$\mathbf{A} = \mathbf{A}(x) = \begin{pmatrix} 0 \\ 0 \\ A_3(x_1, x_2) \end{pmatrix}$$

sofort erfüllt. Des Weiteren gilt automatisch die Coulomb-Eichung

$$\operatorname{div} \mathbf{A} = \nabla \cdot \mathbf{A} = \frac{\partial A_1}{\partial x_1} + \frac{\partial A_2}{\partial x_2} + \frac{\partial A_3}{\partial x_3} = A_{i,i} = 0$$

und

$$\mathbf{B} = \nabla \times \mathbf{A} = \begin{pmatrix} +\partial_2 A_3 \\ -\partial_1 A_3 \\ 0 \end{pmatrix}$$

$$|\mathbf{B}| = |\nabla \times \mathbf{A}| = |\nabla A_3| \quad \text{mit} \quad \nabla = \begin{pmatrix} \partial_1 \\ \partial_2 \end{pmatrix}$$

$$\operatorname{curl} [\nu (|\operatorname{curl} \mathbf{A}|) \operatorname{curl} \mathbf{A}] = \begin{pmatrix} H_1(x_1, x_2) \\ H_2(x_1, x_2) \\ 0 \end{pmatrix} = \begin{pmatrix} \nu B_1(x_1, x_2) \\ \nu B_2(x_1, x_2) \\ 0 \end{pmatrix}$$

$$= \begin{pmatrix} 0 \\ 0 \\ -\partial_1 [\nu \partial_1 A_3] - \partial_2 [\nu \partial_2 A_3] \end{pmatrix}$$

$$= \begin{pmatrix} 0 \\ 0 \\ -\operatorname{div} [\nu (|\nabla A_3|) \nabla A_3] \end{pmatrix}$$

zu: $\operatorname{div} := \frac{\partial}{\partial x_1} + \frac{\partial}{\partial x_2}$

- Randbedingungen:

$$\Gamma_B: 0 = \mathbf{B} \cdot \mathbf{n} = \begin{pmatrix} \partial_2 A_3 \\ -\partial_1 A_3 \\ 0 \end{pmatrix} \cdot \begin{pmatrix} n_1 \\ n_2 \\ 0 \end{pmatrix} = \partial_2 A_3 \cdot n_1 - \partial_1 A_3 \cdot n_2$$



$$\Gamma_B = -\nabla A_3 \times \begin{pmatrix} n_1 \\ n_2 \\ 0 \end{pmatrix} = \frac{\partial}{\partial T} A_3 = 0$$

z.B. $A_3 = 0$ auf Γ_B

$$\Gamma_H: \begin{pmatrix} 0 \\ 0 \\ -\mathcal{J}_{i,3} \end{pmatrix} = [\underbrace{\nu(1|\nabla \times \mathbf{A}|) \nabla \times \mathbf{A}}_{= \mathbf{H}}] \times \mathbf{n} =$$

$$= \nu(1|\nabla A_3|) \begin{pmatrix} \partial_2 A_3 \\ -\partial_1 A_3 \\ 0 \end{pmatrix} \times \begin{pmatrix} n_1 \\ n_2 \\ 0 \end{pmatrix}$$

$$= \nu(1|\nabla A_3|) \begin{pmatrix} 0 \\ 0 \\ \partial_2 A_3 n_2 + \partial_1 A_3 n_1 \end{pmatrix}$$

- Resultat: 3D Magnetostatik \rightarrow 2D Magnetostatik

Ges. $u = A_3(x) = A_3(x_1, x_2)$:

$$-\operatorname{div}(\nu(x, |\nabla u|) \nabla u(x)) = \mathcal{J}_{i,3} + \frac{\mu_0}{\mu} \left(\frac{\partial H_{02}}{\partial x_1} - \frac{\partial H_{01}}{\partial x_2} \right)$$

$$x = (x_1, x_2) \in \Omega \subset \mathbb{R}^2$$

+ RB auf $\Gamma = \partial \Omega$:

$$u = 0 \text{ auf } \Gamma_B = \Gamma_1 = \Gamma_{\text{Dirichlet}}$$

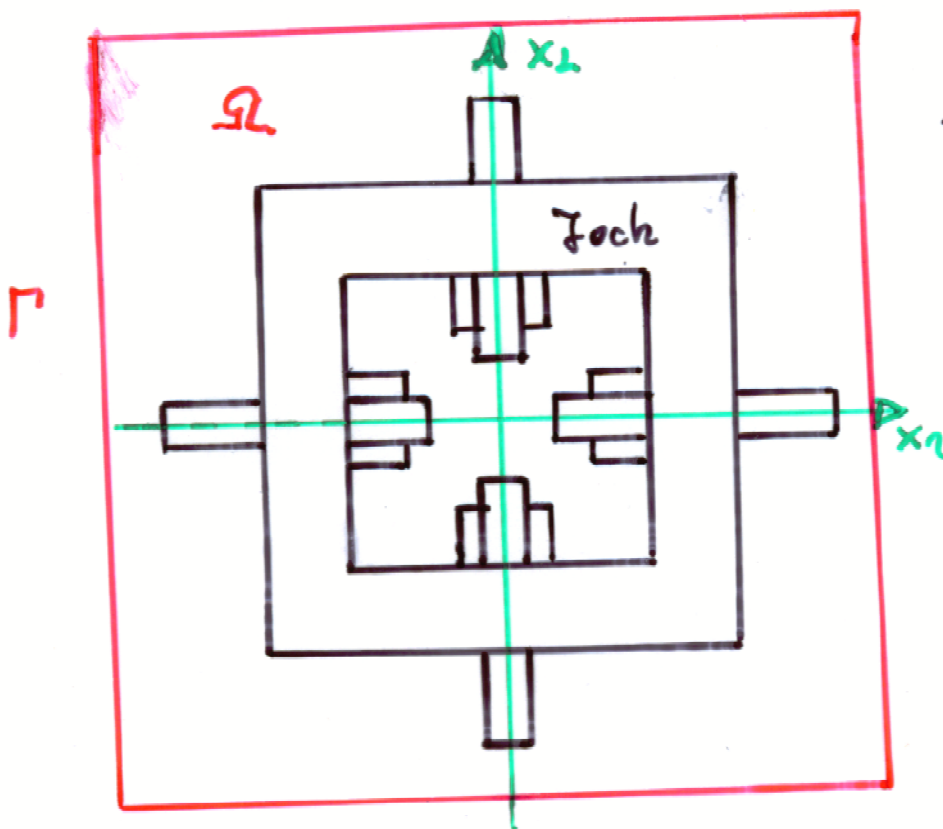
$$\nu(|\nabla u|) \nabla u \cdot \mathbf{n} = -\mathcal{J}_{s,3} \text{ auf } \Gamma_H = \Gamma_2 = \Gamma_{\text{Neumann}}$$

- Beispiel: Elektromagnet \rightarrow Folien 12i+j
Elektrische Maschinen

• Beispiel: Elektromagnet

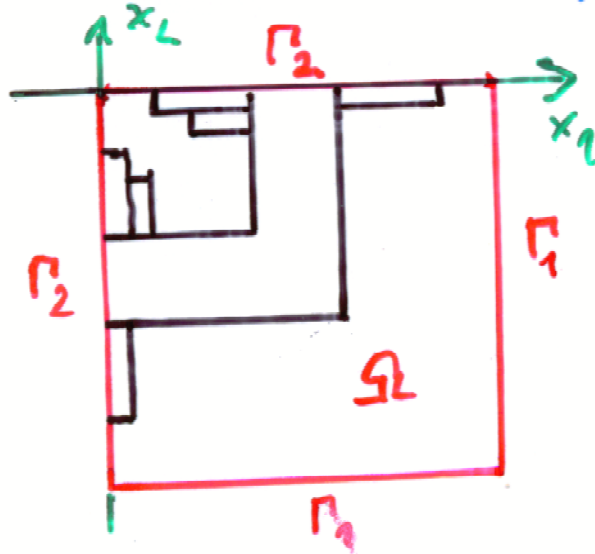
3D-Elektromagnet: $\operatorname{curl}(\nu \operatorname{curl} A) = J \text{ in } \Omega$
 $A \times n = 0 \text{ auf } \hat{\Gamma}$

2D-Modell im Querschnitt:



Ges. $u = A_3(x_1, x_2)$
 $-\operatorname{div}(\nu \nabla u) = J \text{ in } \Omega$,
 $u = 0 \text{ auf } \Gamma$
 $\nu = \frac{1}{\mu \cdot \mu_r} \text{- Relukt}$

Modellreduktion auf $\frac{1}{4}$ durch Symmetrie:



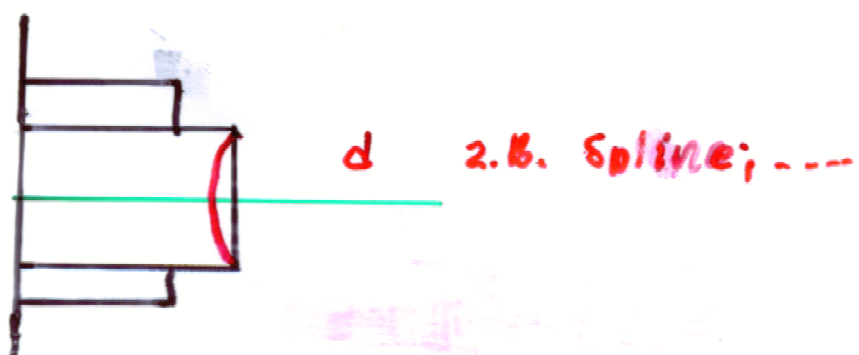
Ges. $u = A_3(x_1, x_2)$:
 $-\frac{\partial}{\partial x_1} (\nu(x) \frac{\partial u}{\partial x_1}) - \frac{\partial}{\partial x_2} (\nu(x) \frac{\partial u}{\partial x_2}) = J_{i3}(x), x = (x_1, x_2) \in \Omega$
+ RB:
 $u = 0 \text{ auf } \Gamma_1$
 $\nu \frac{\partial u}{\partial n} = 0 \text{ auf } \Gamma_2 \text{ (Symmetri)}$

Optimal Design Problem:

$$\min_{d \in D_{ad}} \frac{1}{|\Omega_m| |B_{req}|} \int_{\Omega_m} |B(d) - B_{req}|^2 dx$$

s.t.

$$B(d) = \begin{pmatrix} \partial_x u \\ -\partial_y u \\ 0 \end{pmatrix} : -\operatorname{div}(v \nabla u) = f \text{ in } \Omega \\ u = 0 \text{ auf } \Gamma_1 \\ v \frac{\partial u}{\partial n} = 0 \text{ auf } \Gamma_2$$



$$d \in D_{ad} := \{ \mathbb{R}^4 : \underline{d}_i \leq d_i \leq \bar{d}_i, i=1,4 \}$$